

FIG. 1

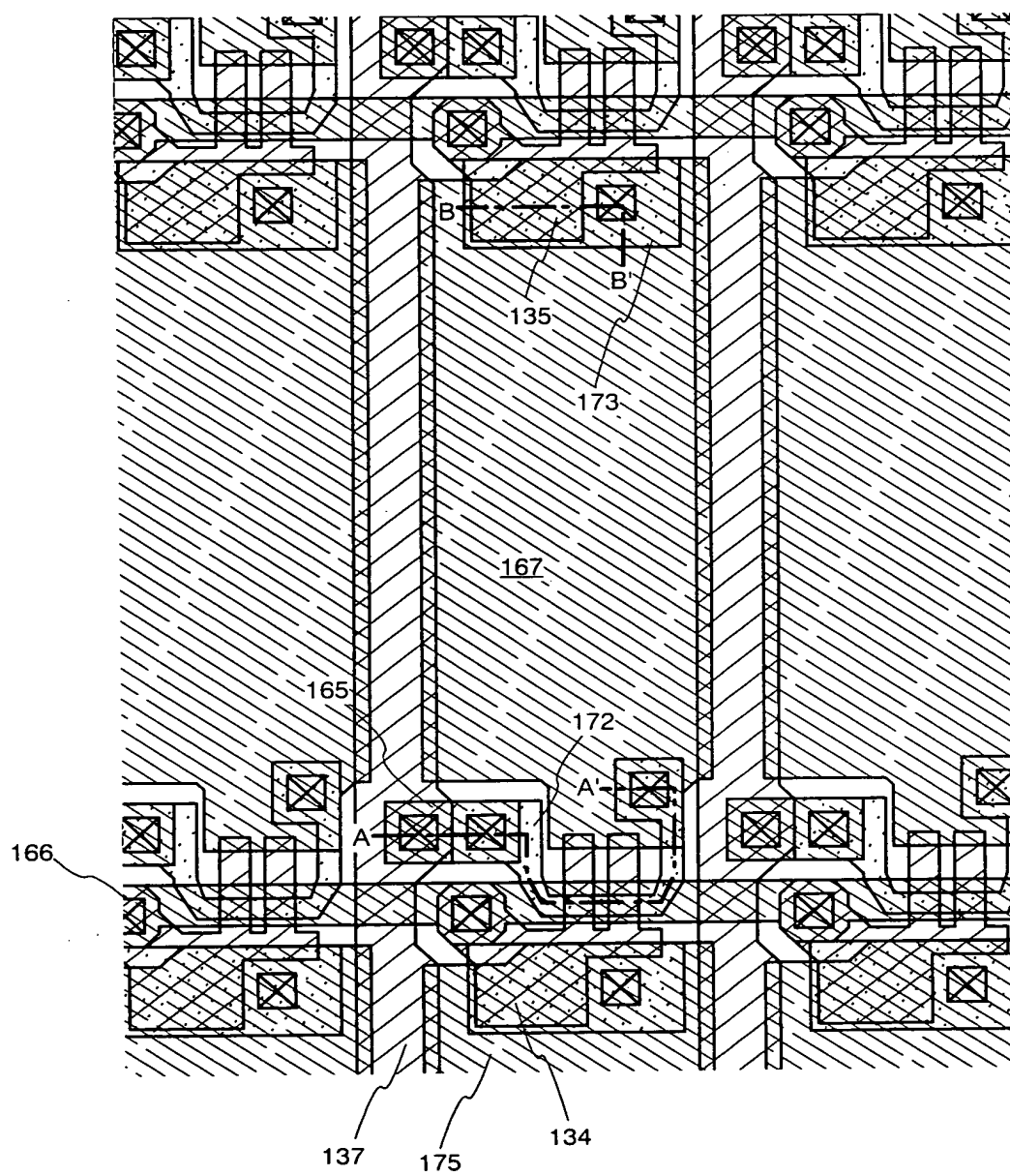


FIG. 2A

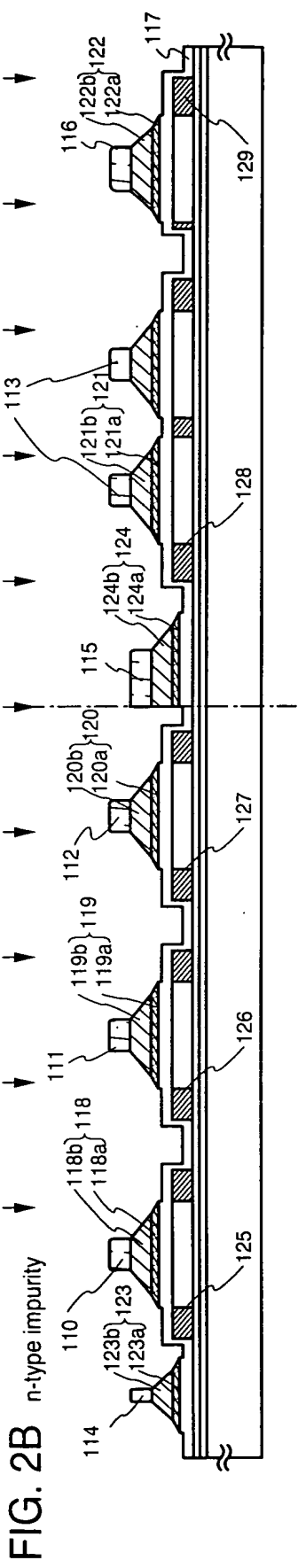
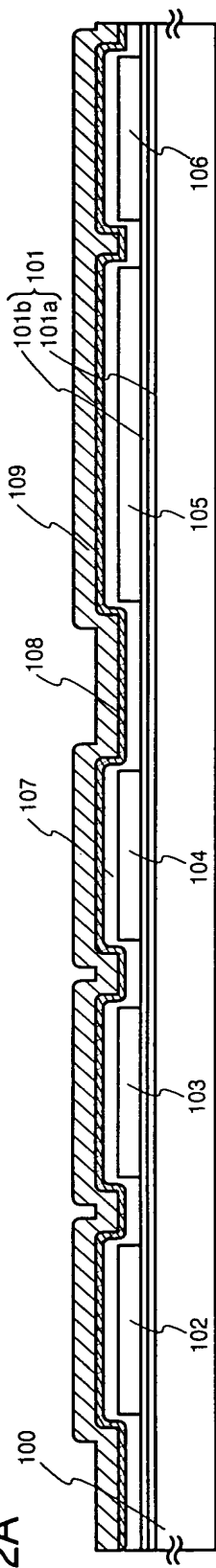
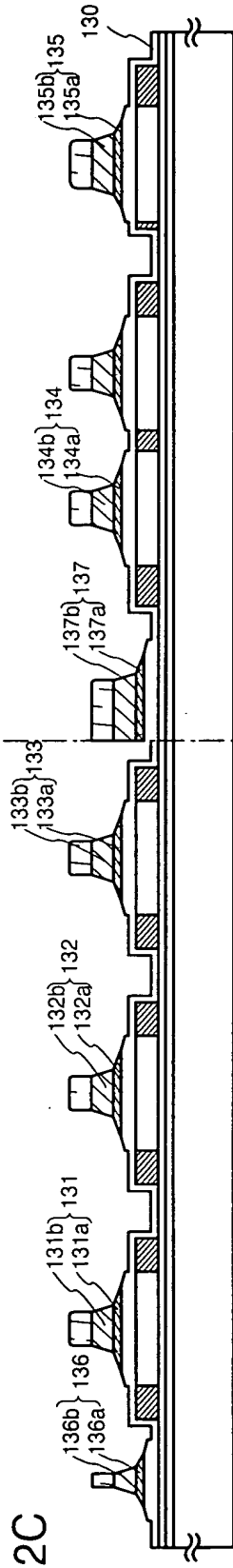


FIG. 2C



602020 "C455E" 350

FIG. 3A n-type impurity

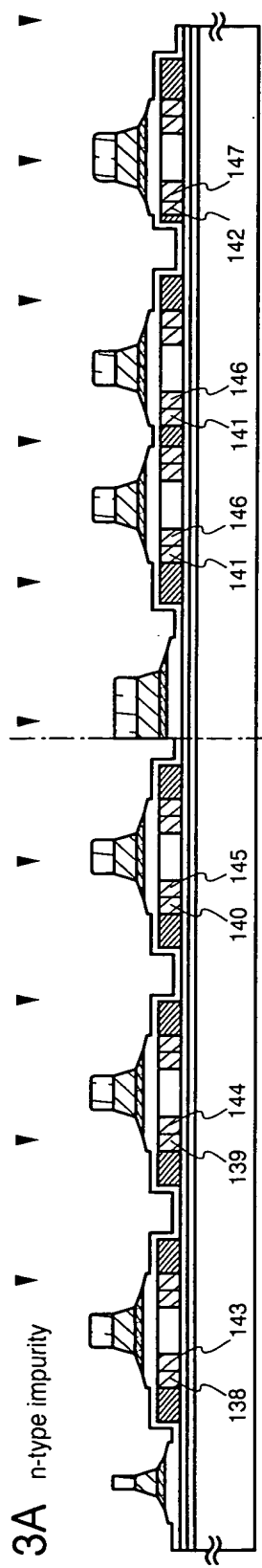


FIG. 3B p-type impurity

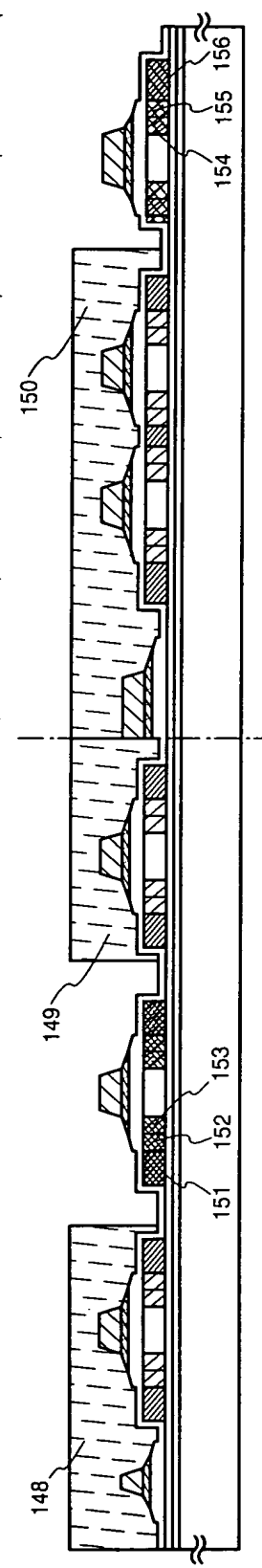


FIG. 3C

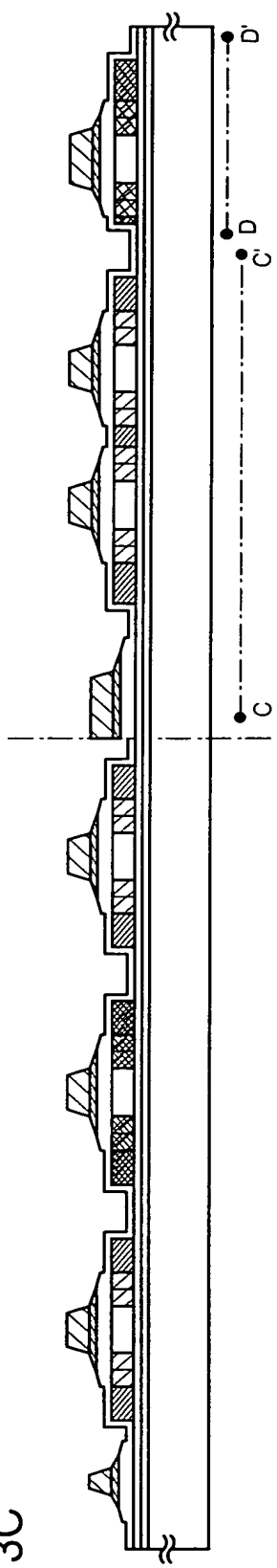


FIG. 4

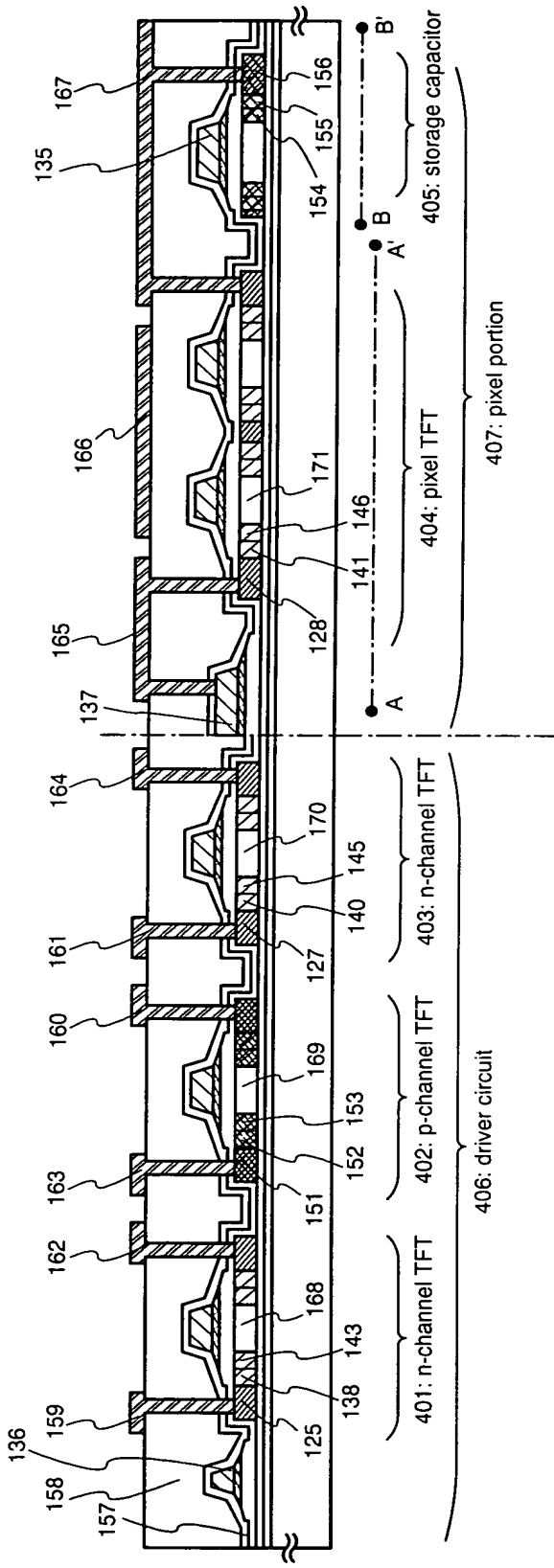


FIG. 5

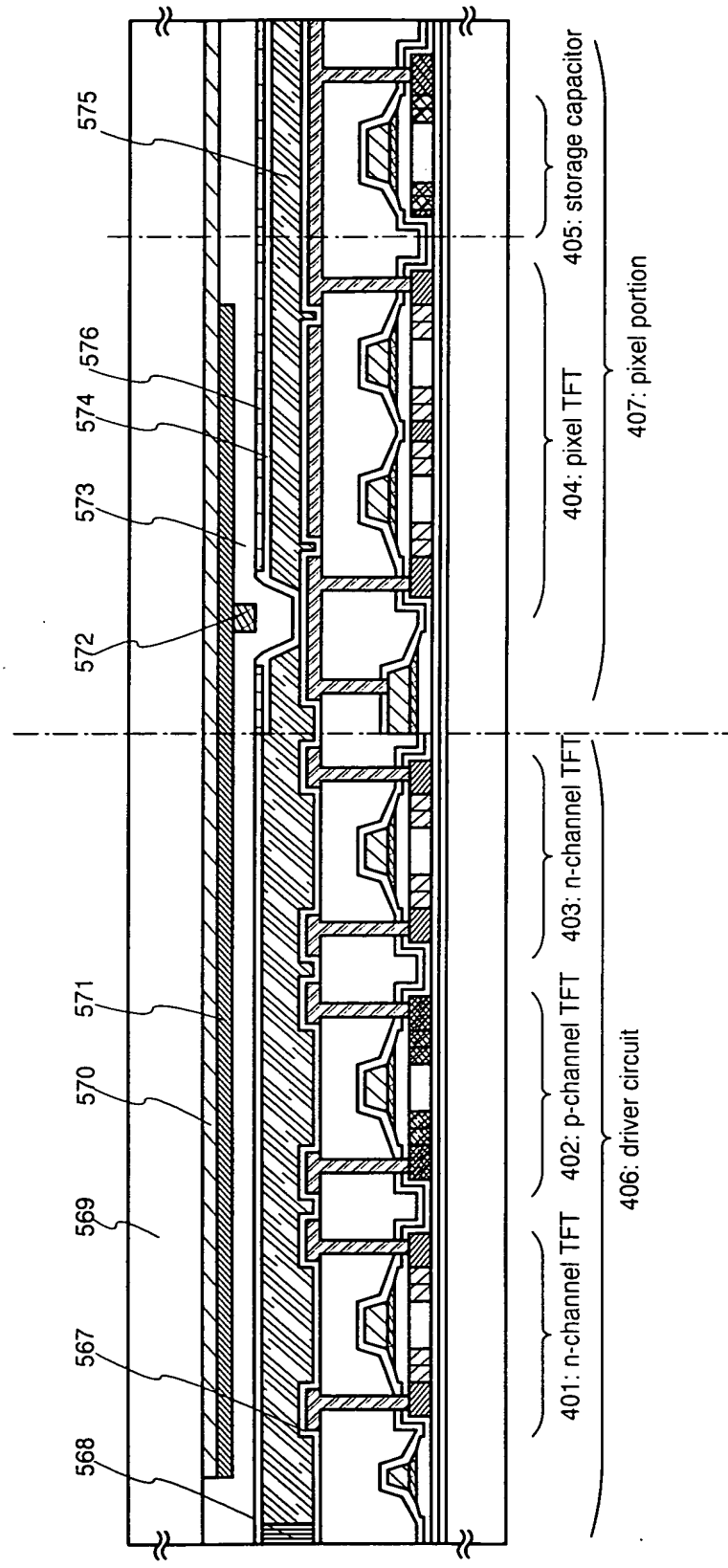
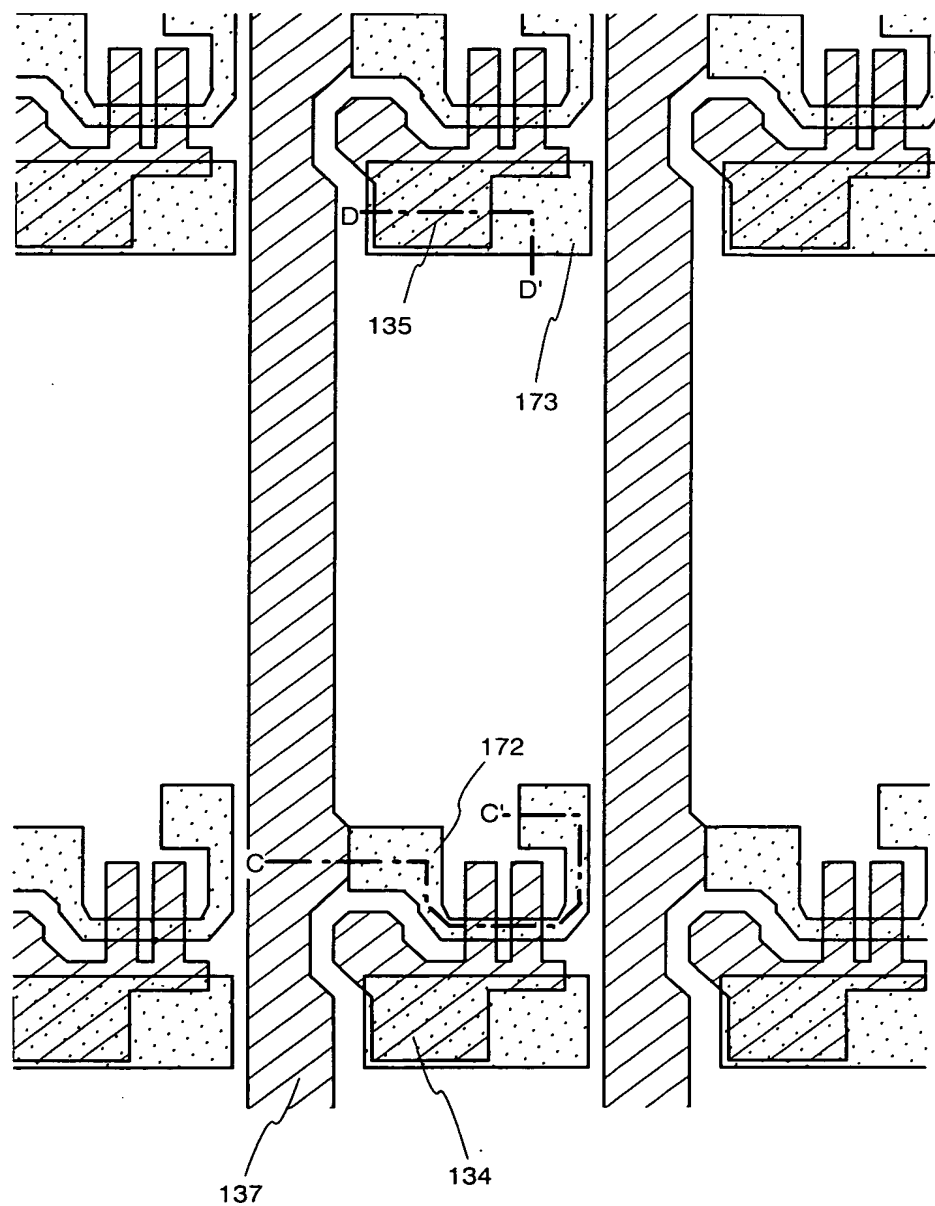


FIG. 6



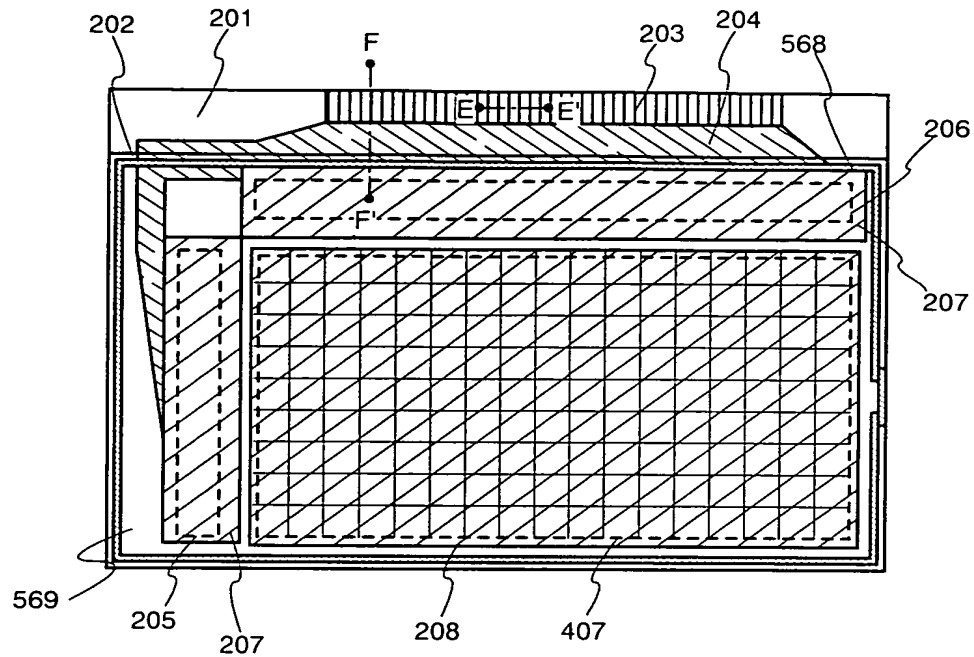


FIG. 7A top view

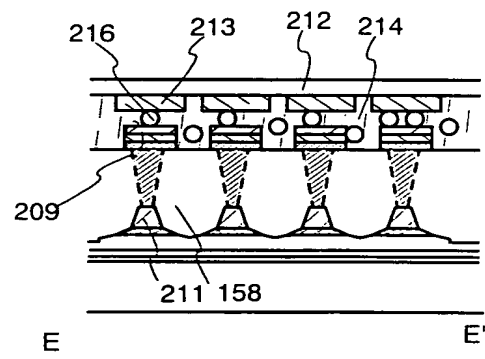


FIG. 7B cross sectional view of E-E'

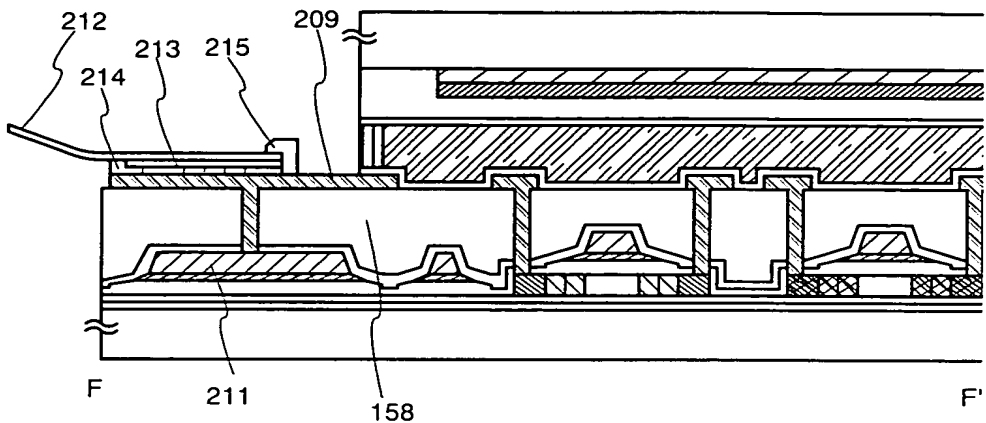


FIG. 8A cross sectional view of F-F'

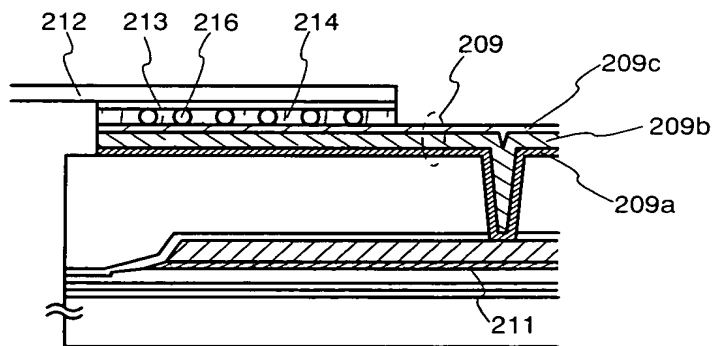


FIG. 8B

FIG. 9A

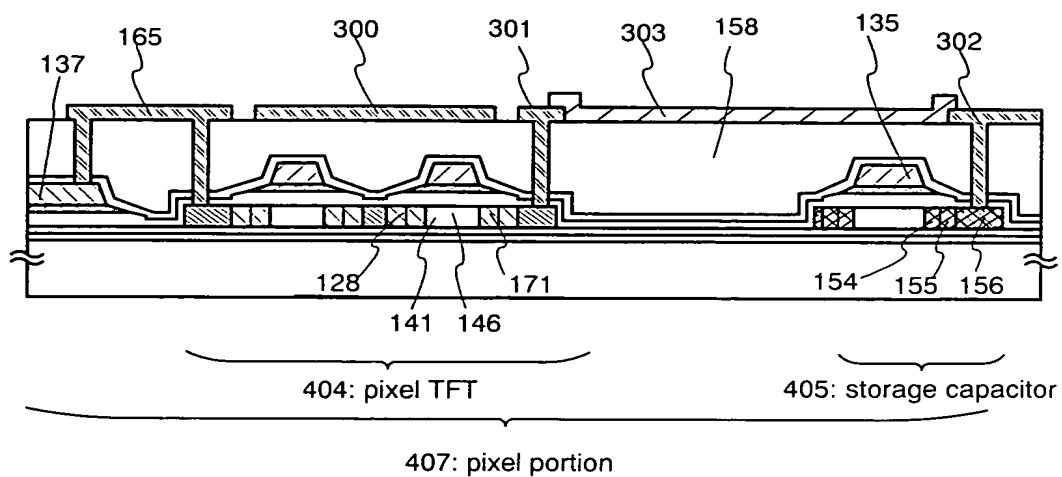


FIG. 9B

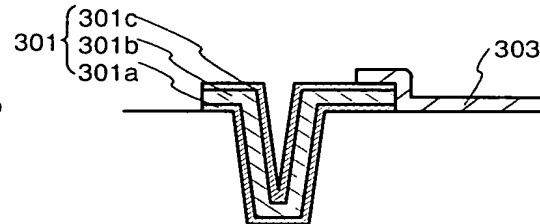


FIG. 9C

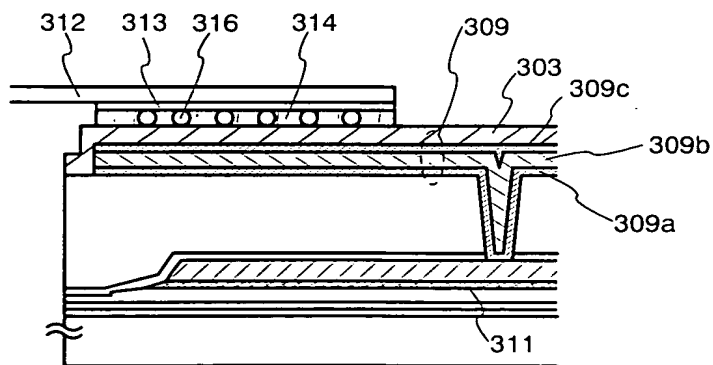


FIG. 10

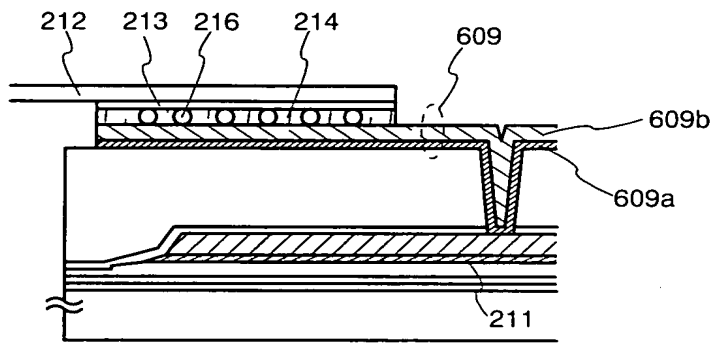


FIG. 11

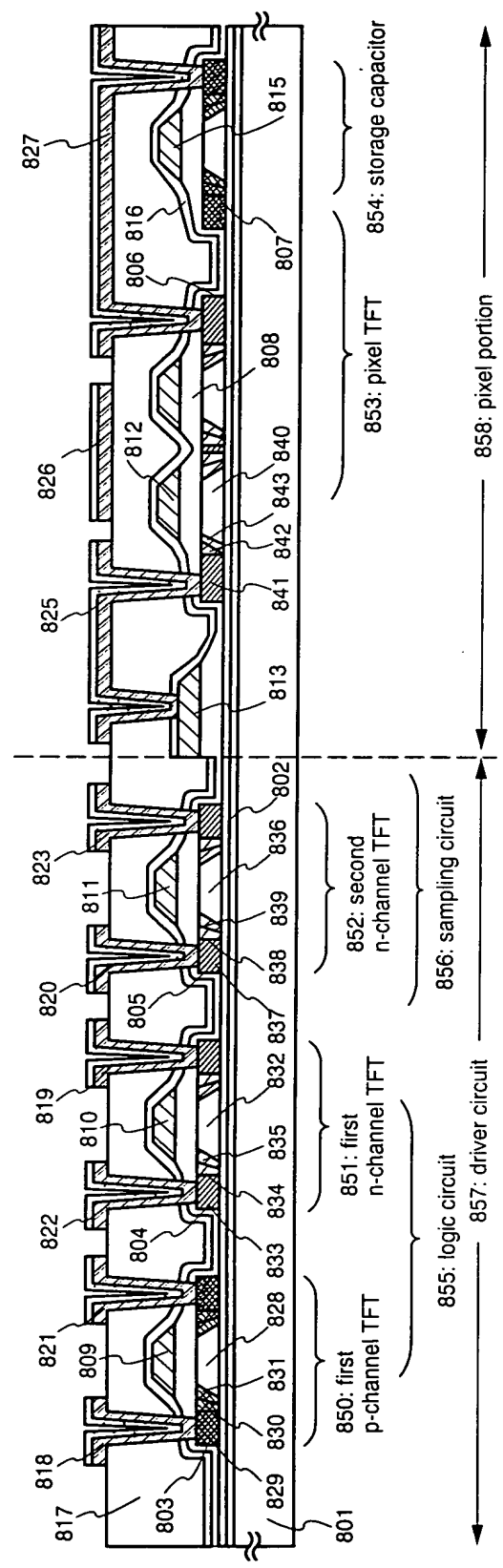


FIG. 12

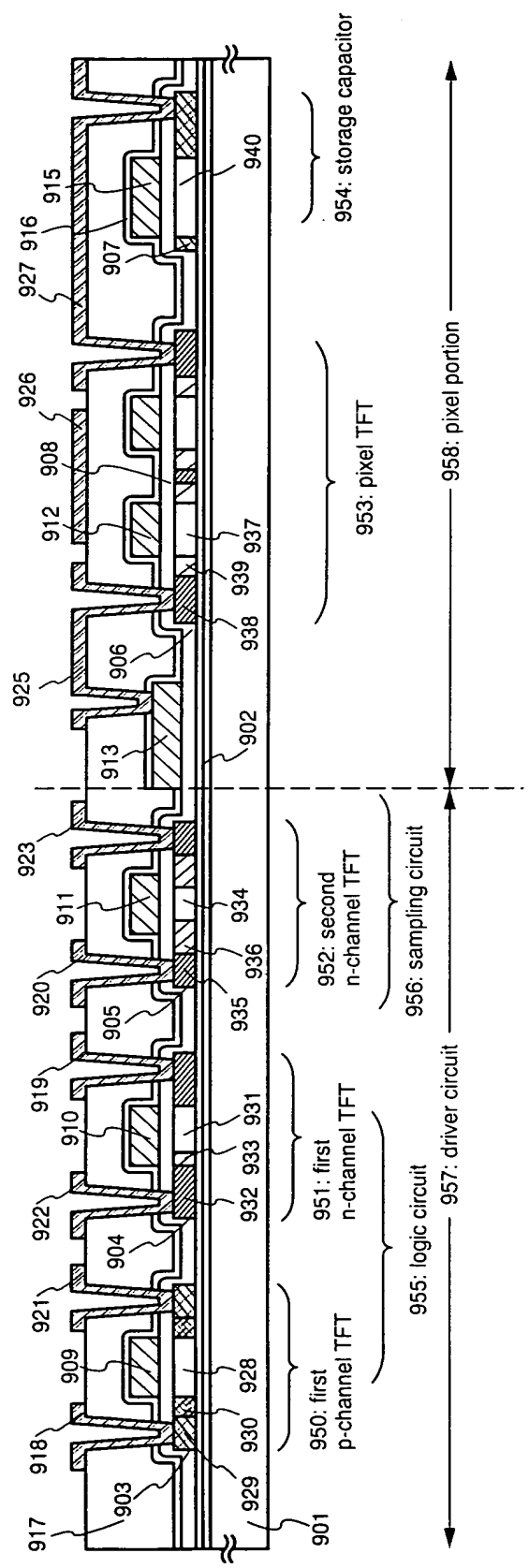


FIG. 13

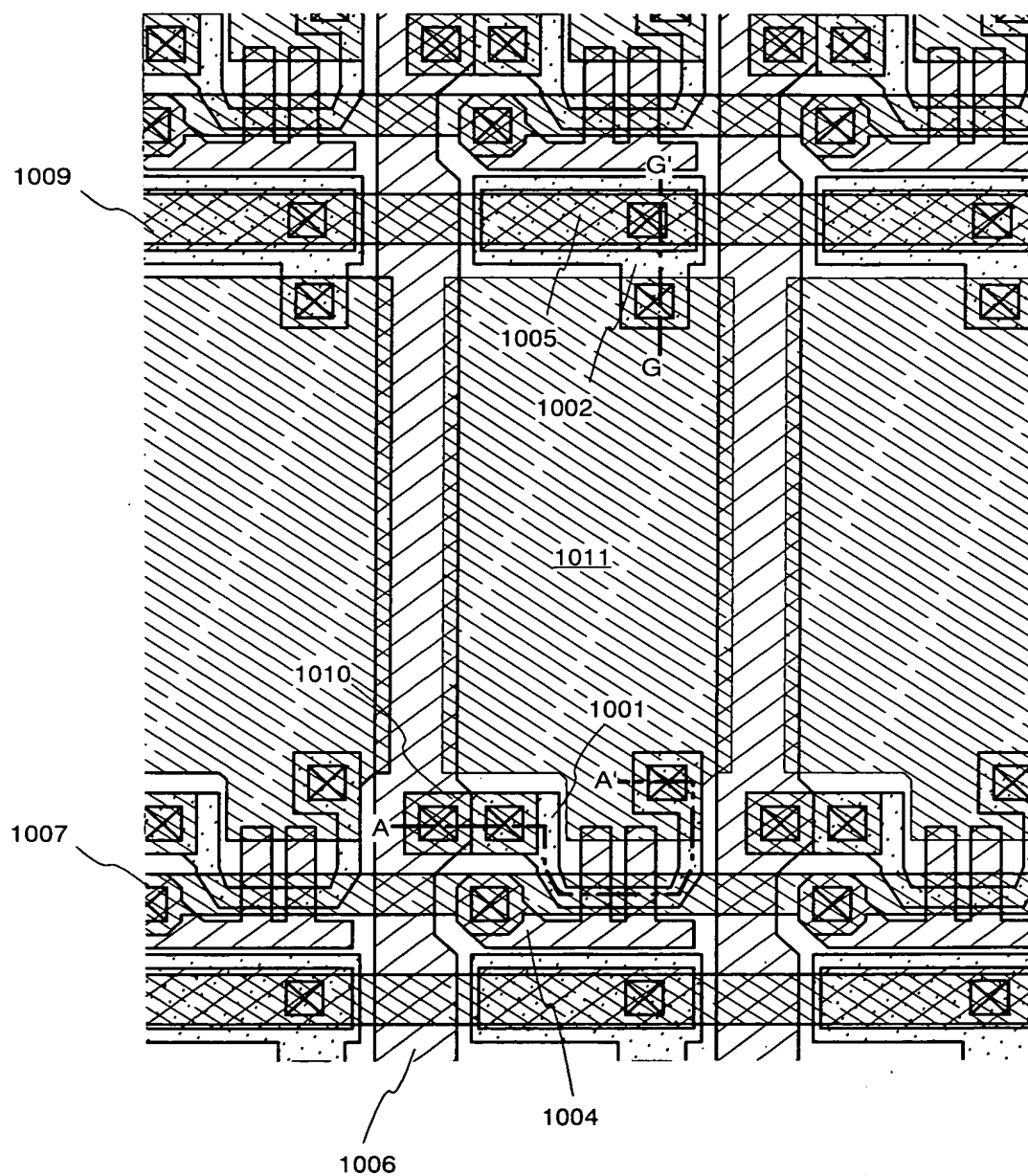


FIG. 14

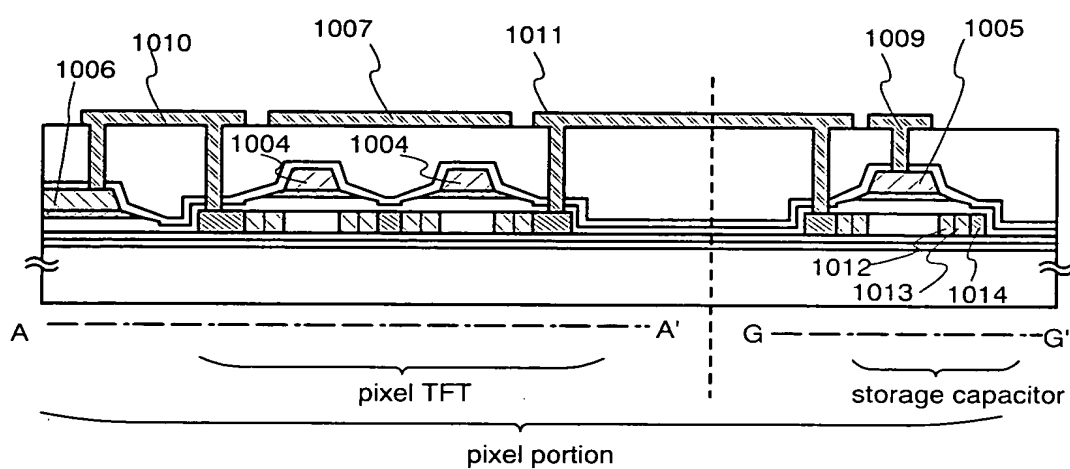


FIG. 15

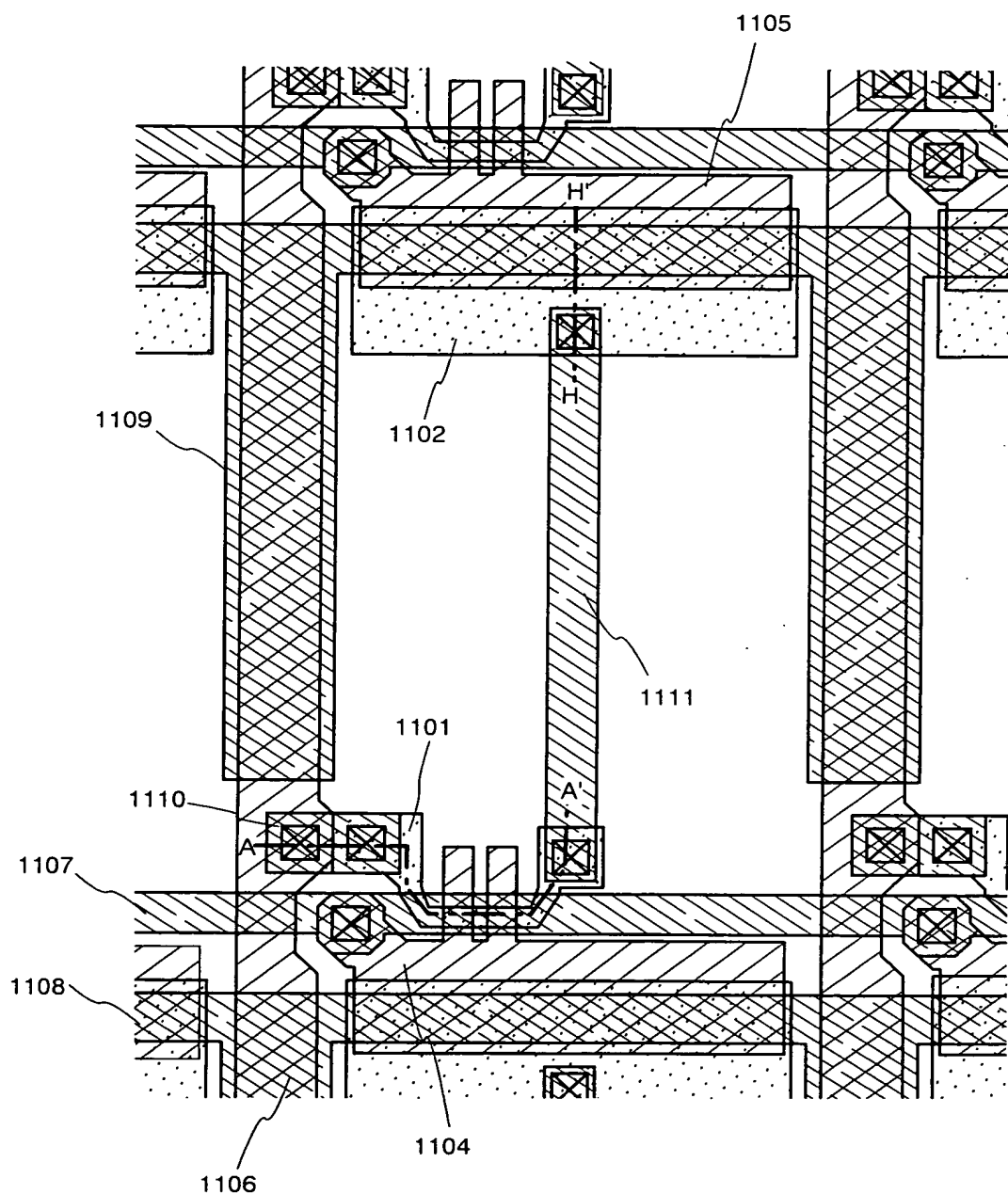


FIG. 16

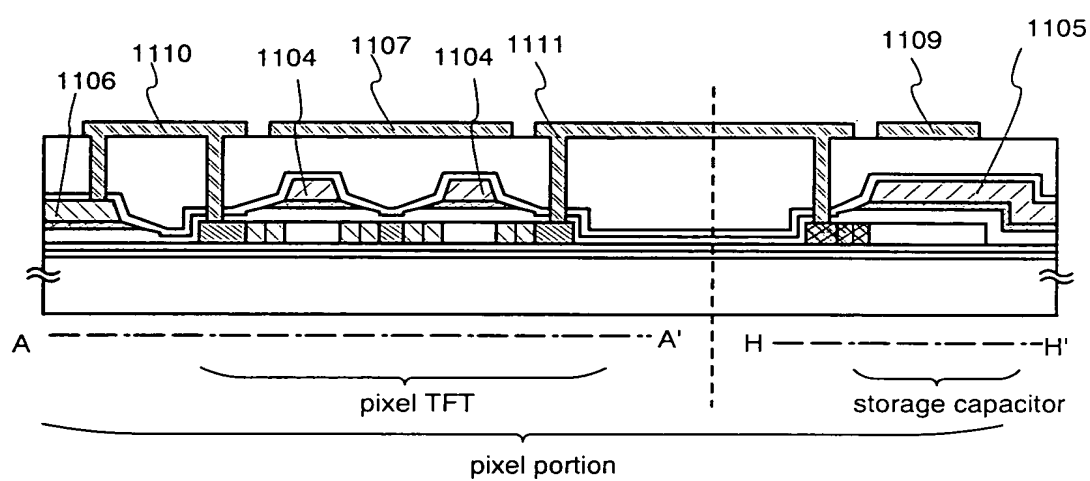


FIG. 17

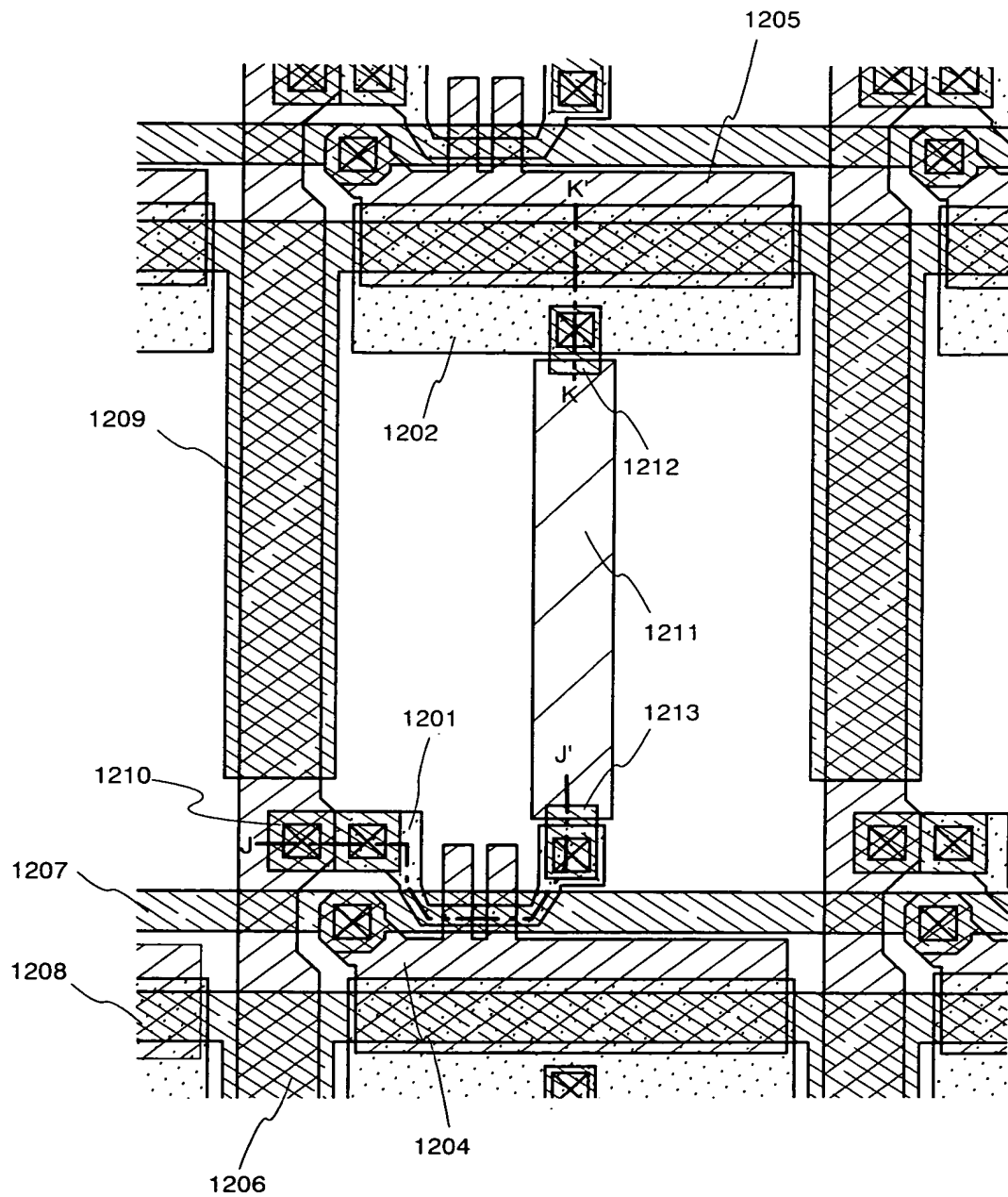


FIG. 18

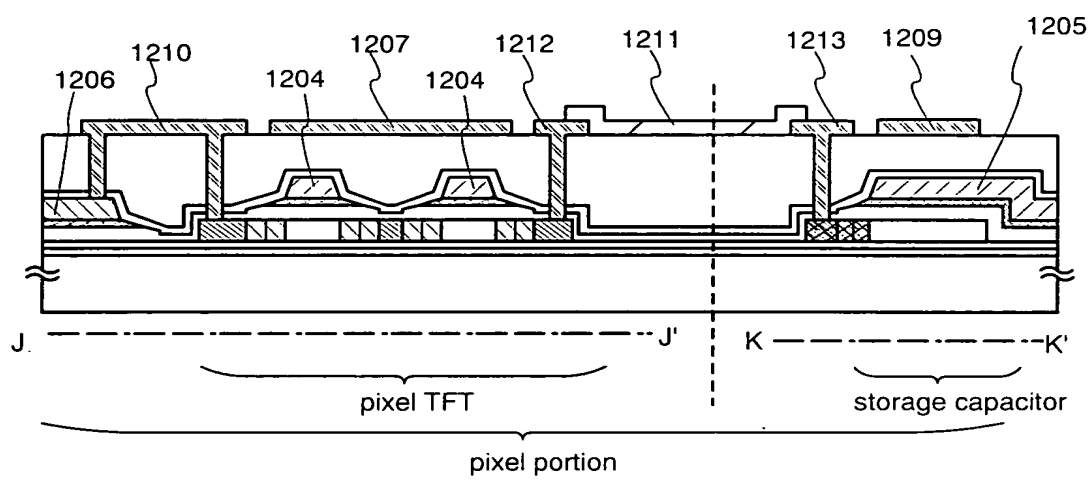
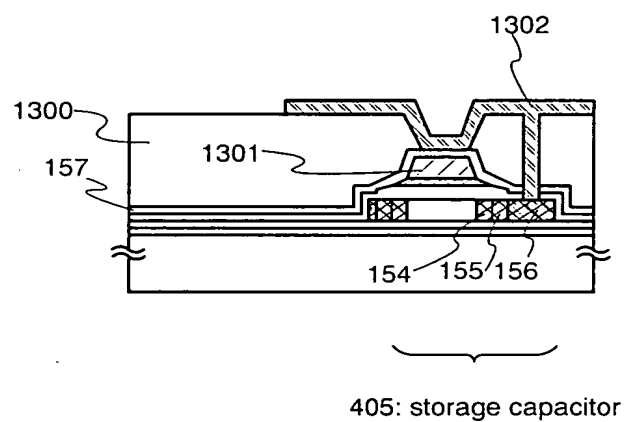
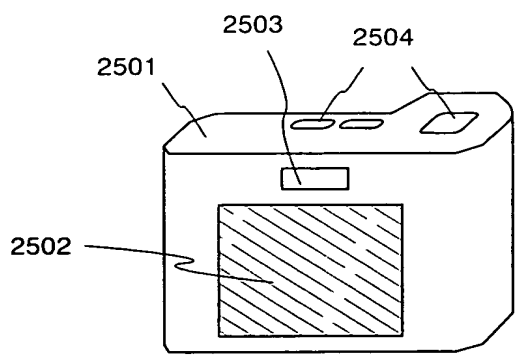
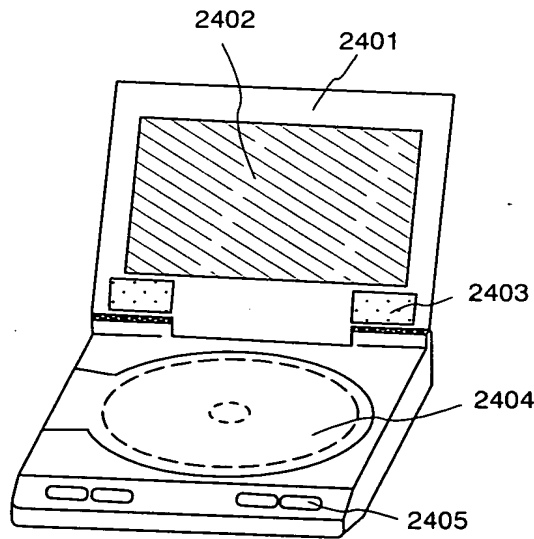
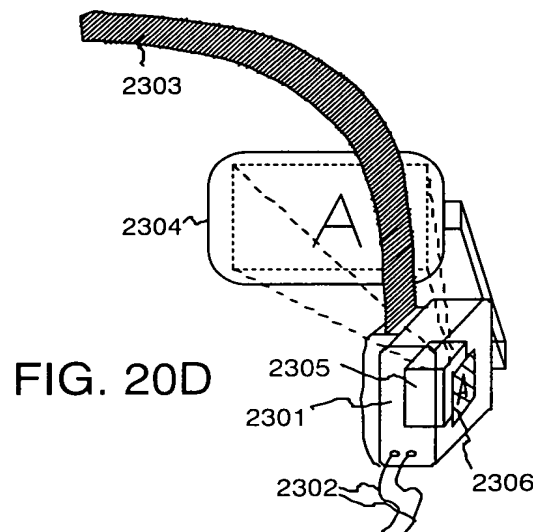
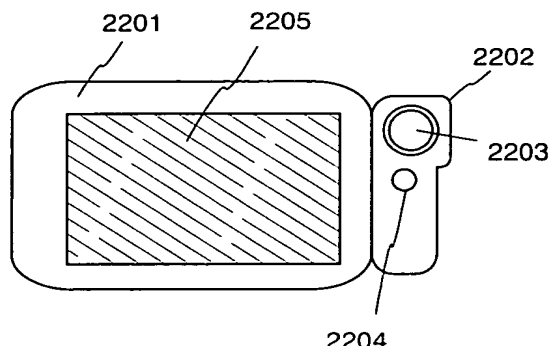
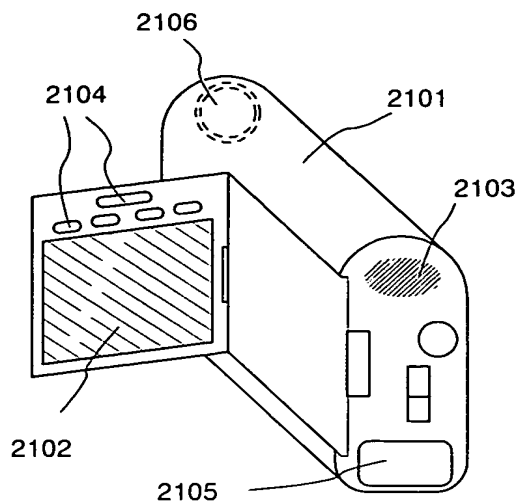
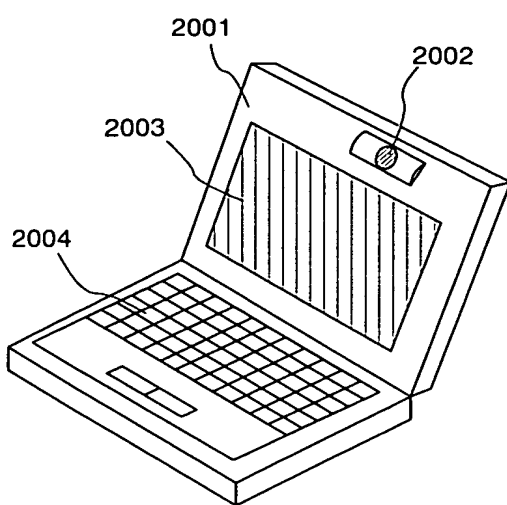


FIG. 19





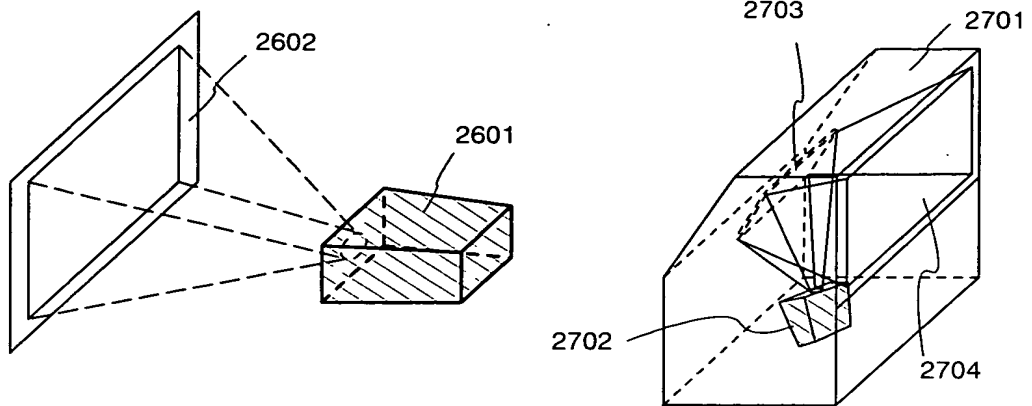


FIG. 21A

FIG. 21B

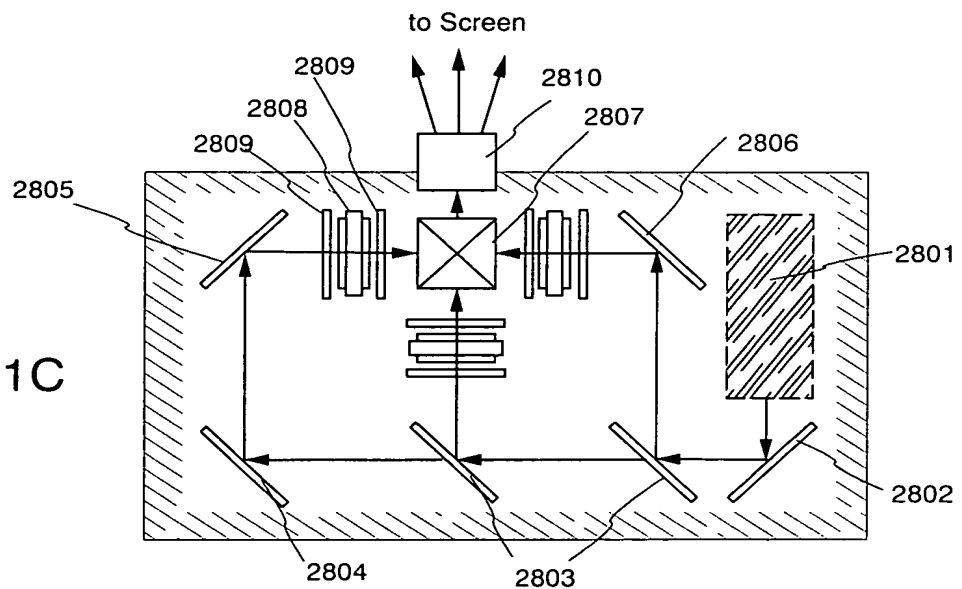


FIG. 21C

FIG. 21D

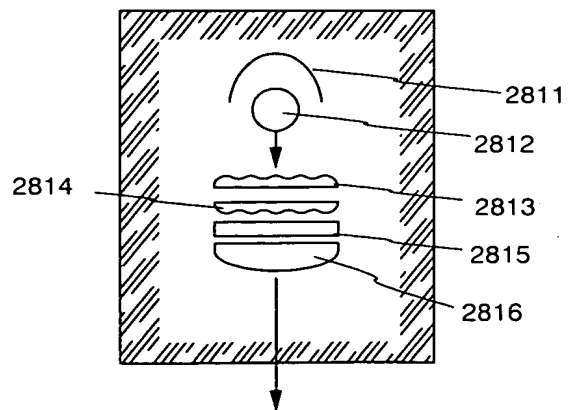


FIG. 22A

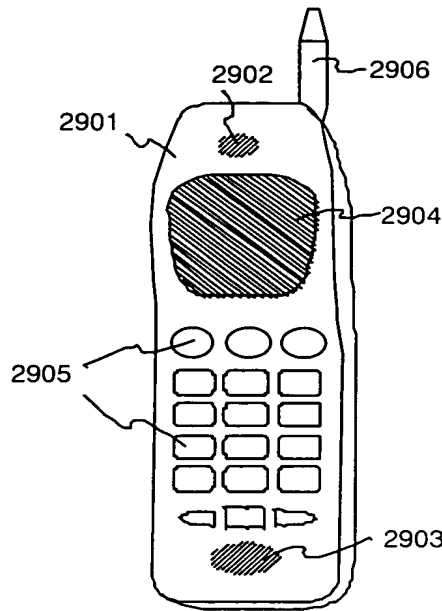


FIG. 22B

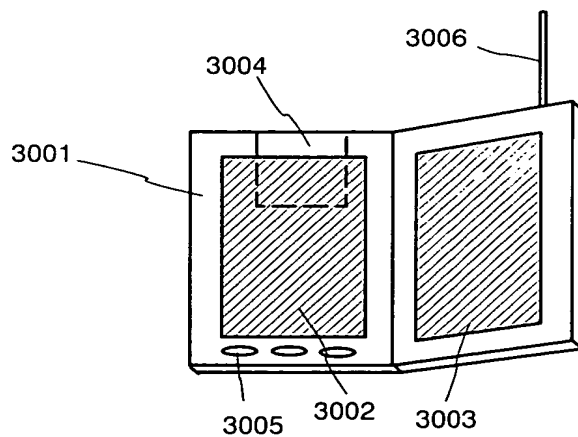


FIG. 22C

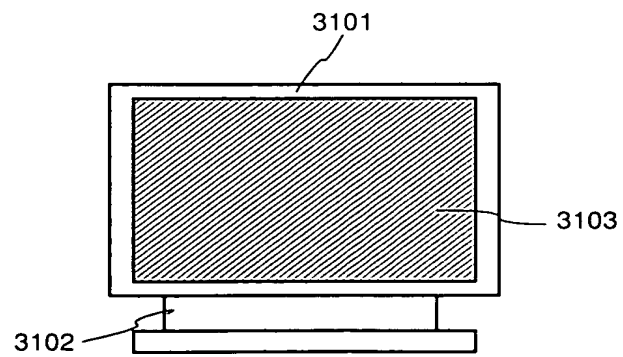


FIG. 23 prior art

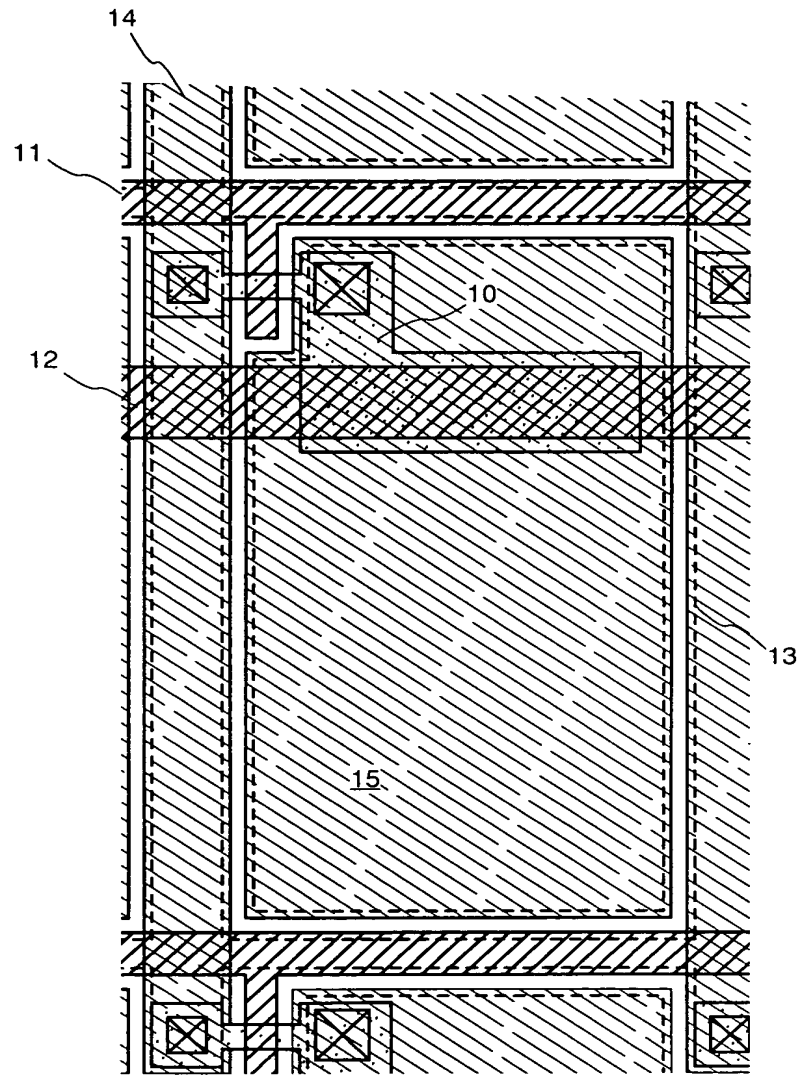


FIG. 24A

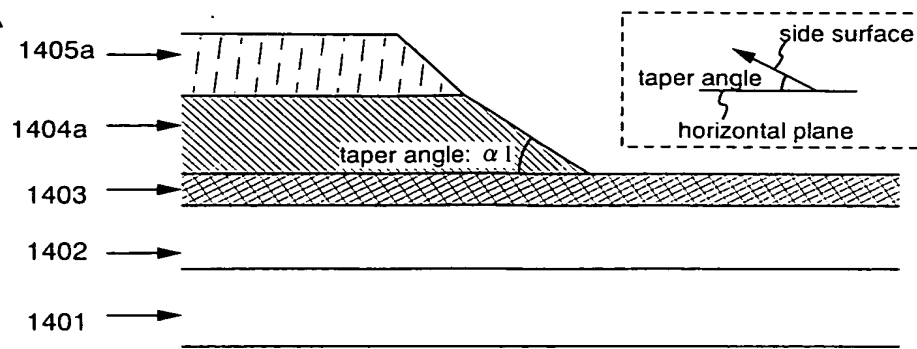


FIG. 24B

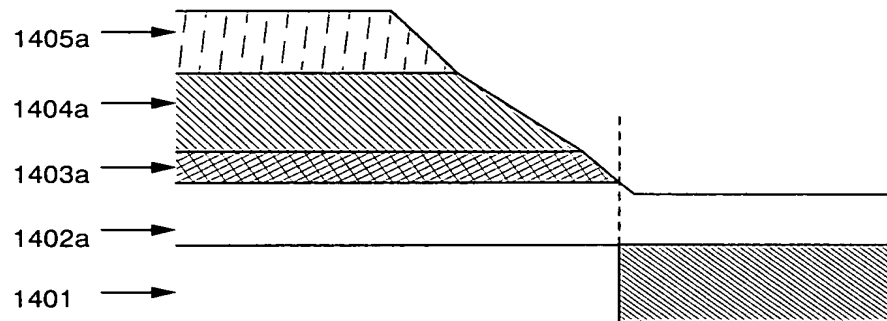


FIG. 24C

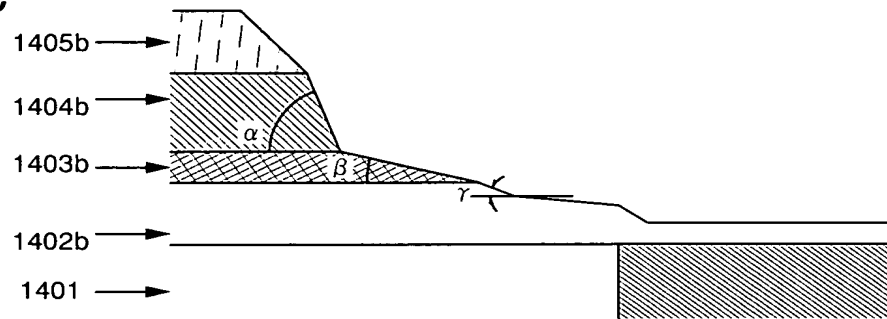


FIG. 24D

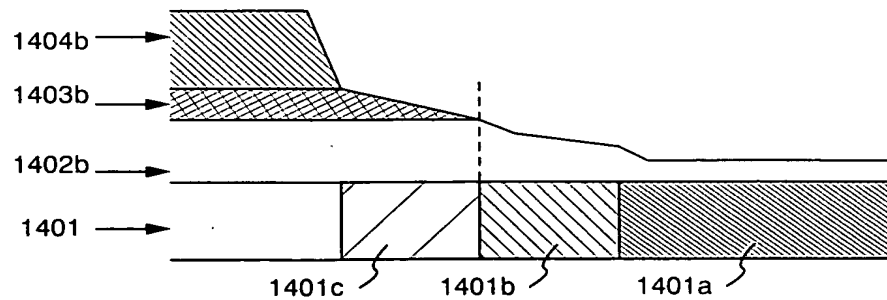


FIG. 25

